

УДК 621.892

*В. В. Тарасов*, доктор технических наук, профессор  
Институт прикладной механики Уральского отделения Российской академии наук, Ижевск  
*В. Н. Новиков*  
Ижевская государственная сельскохозяйственная академия  
*Е. А. Калентьев*, аспирант  
Институт прикладной механики Уральского отделения Российской академии наук, Ижевск  
*А. В. Чуркин*, кандидат технических наук  
Институт прикладной механики Уральского отделения Российской академии наук, Ижевск  
*В. А. Постников*  
ОАО «Гипрогазцентр», Ижевск  
*Ю. В. Пузанов*, кандидат технических наук, доцент  
Ижевский государственный технический университет

### К МЕТОДИКЕ ВЫБОРА СМАЗОЧНОГО МАТЕРИАЛА ПРИ ТРЕНИИ СТАЛЬНОГО КАНАТА

*Представлена методика контроля смазочного материала, используемого для смазывания стальных канатов. Выявлены основные факторы, влияющие на коэффициент трения стальных канатов. Получена математическая модель для определения коэффициента трения стального каната.*

**Ключевые слова:** планирование эксперимента, шунгит, смазочный материал, стальной канат, коэффициент трения

Долговечность стального каната во многом определяется смазочным материалом, который при правильном подборе позволяет снизить коэффициент трения как между проволоками в прядях, так и в зоне контакта внешней поверхности каната с рабочей поверхностью блока.

Нарушение условий смазки или ее отсутствие в контактных зонах существенно осложняет условия эксплуатации каната, что ведет к повышенному износу проволок и их интенсивному разрушению. При разрыве проволок снижается несущая способность стального каната, и по достижении критического количества оборванных проволок канат подлежит выбраковке [1].

Стальной канат является специфическим объектом исследования, имеющим сложное геометрическое строение, в частности затрудняющее проведение трибологических испытаний. Поэтому были разработаны оригинальные образцы [2], которые позволяют максимально приблизить условия трения и изнашивания в канате с учетом особенностей его конструкции (рис. 1).

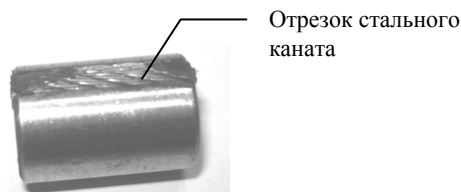


Рис. 1. Вид образца с вкладышем из стального каната для машины трения марки SRV-III

Истирание каната производилось по образцам из чугуна марки СЧ-15 (материал канатных блоков).



Рис. 2. Контртело для изнашивания стального каната

В ходе проведения предварительных однофакторных экспериментов выбраны факторы, влияющие на коэффициент трения каната, определены верхние и нижние границы этих факторов (табл. 1).

Таблица 1. Исследуемые факторы в действительных значениях

Фактор	Уровень			Интервал варьирования
	нижний (-1)	нулевой (0)	верхний (+1)	
Амплитуда $X_1$ , мкм	100	1550	3000	1450
Частота $X_2$ , Гц	30	45	60	15
Нагрузка $X_3$ , Н	100	125	150	25
Температура $X_4$ , °С	-25	12,5	+50	37,5

Критерием оптимизации выбран коэффициент трения  $Y$ .

Для решения поставленной задачи использован 4-факторный план Бокса ( $B_4$ ). Эксперименты проведены с трехкратной повторностью. Для каждого эксперимента получен критерий оптимизации.

Средняя величина показателя оптимизации определялась по формуле

$$\bar{Y} = \frac{\sum_{i=1}^n y_i}{n}, \tag{1}$$

где  $y_i$  – значение параметра оптимизации при  $i$ -й повторности.

В табл. 2 приведена матрица плана Бокса ( $B_4$ ) для полного факторного эксперимента со средней величиной показателя оптимизации.

Испытания проводились на стальном канате диаметром 3 мм.

Перед проведением эксперимента все образцы смазаны канатной смазкой Торсиол-55.

Результаты экспериментальных исследований обрабатывались при помощи программы «STATGRAPHIC Plus».

В результате расчета коэффициентов получена математическая модель в закодированном виде, связывающая влияние четырех факторов на коэффициент трения стального каната.

Таблица 2. Матрица планирования эксперимента по плану Бокса ( $B_4$ ) при кодированных значениях факторов

№ опыта	Фактор				Критерий оптимизации
	$X_1$	$X_2$	$X_3$	$X_4$	
1	-1	-1	-1	-1	0,5728
2	+1	-1	-1	-1	0,2919
3	-1	+1	-1	-1	0,5519
4	+1	+1	-1	-1	0,3413
5	-1	-1	+1	-1	0,6552
6	+1	-1	+1	-1	0,2864
7	-1	+1	+1	-1	0,6171
8	+1	+1	+1	-1	0,2620
9	-1	-1	-1	+1	0,2902
10	+1	-1	-1	+1	0,1521
11	-1	+1	-1	+1	0,2455
12	+1	+1	-1	+1	0,2370
13	-1	-1	+1	+1	0,3173
14	+1	-1	+1	+1	0,2639
15	-1	+1	+1	+1	0,1891
16	+1	+1	+1	+1	0,1856
17	+1	0	0	0	0,1908
18	-1	0	0	0	0,4228
19	0	+1	0	0	0,2437
20	0	-1	0	0	0,2503
21	0	0	+1	0	0,2052
22	0	0	-1	0	0,1930
23	0	0	0	+1	0,1514
24	0	0	0	-1	0,2390

Уравнение математической модели имеет следующий вид:

$$\begin{aligned}
 Y = & 0,202298 - 0,917167X_1 - 0,0114944X_2 + 0,00589444X_3 - 0,0991944X_4 + \\
 & + 0,104502 X_1^2 + 0,0164688X_1X_2 - 0,0891875X_1X_3 + 0,0632438X_1X_4 + \\
 & + 0,0447021 X_2^2 - 0,0211063X_2X_3 - 0,00826875X_2X_4 - 0,00319792 X_3^2 - \\
 & - 0,00198125X_3X_4 - 0,00709792 X_4^2 .
 \end{aligned}$$

Значимость коэффициентов регрессии проверялась по критерию Стьюдента, при этом коэффициенты считаются значимыми, если расчетное значение  $t_p$  больше  $t_{\text{табл}}$ , где  $t_{\text{табл}} = 2,3$  при уровне значимости  $p = 0,05$ . Графическое отображение значимости коэффициентов математической представлено на рис. 3.

Диаграмма показывает, что наибольшее влияние в заданных интервалах варьирования факторов на коэффициент трения оказывает температура испытаний и амплитуда колебания, а частота колебаний и нагрузка факторы малозначимые.

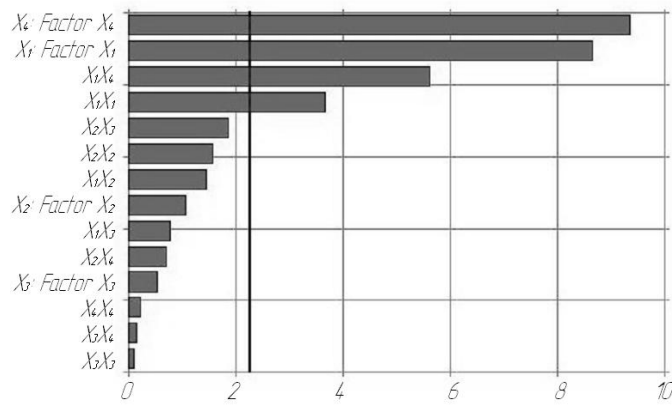


Рис. 3. Столбчатая диаграмма значимости коэффициентов математической модели

С учетом проведенного ранжирования уравнение математической модели примет следующий окончательный вид:

$$Y = 0,202 - 0,917X_1 - 0,099X_4 + 0,105 X_1^2 + 0,063X_1X_4 - 0,007 X_4^2 .$$

С помощью программы «STATGRAPHIC Plus» получено графическое изображение поверхности отклика (рис. 4), отражающее зависимость между критерием оптимизации и двумя независимыми переменными:  $Y = f(A, T)$ .

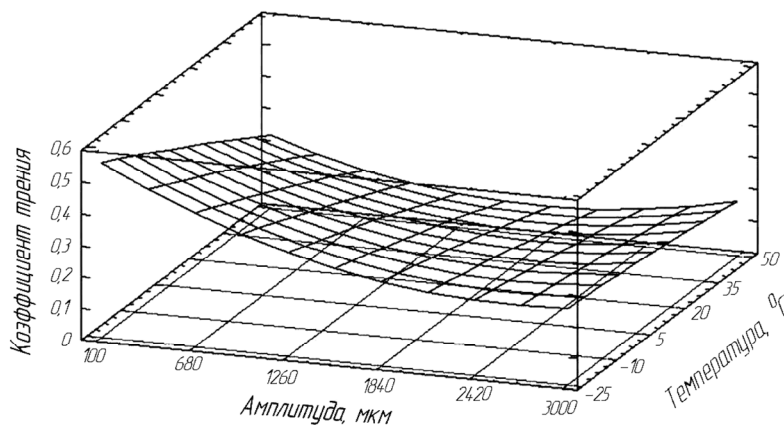


Рис. 4. Графическое представление поверхности отклика

Анализ поверхности отклика (рис. 4) удобно приводить с помощью двумерных сечений (рис. 5).

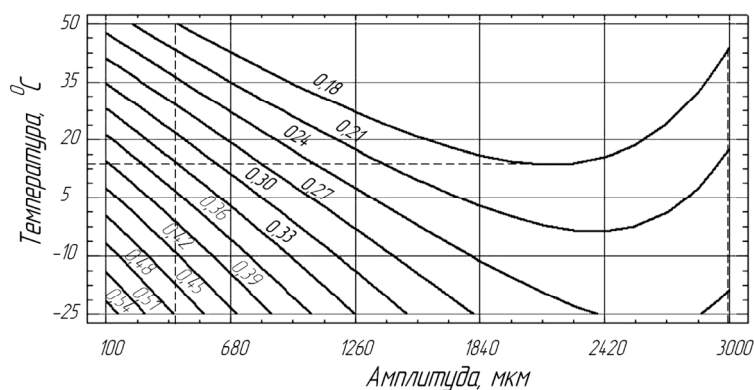


Рис. 5. Вид двумерных сечений, характеризующих коэффициент трения

Из рис. 4, 5 видно, что при амплитуде колебаний  $A = 325 \dots 3000$  мкм и температуре испытаний  $T = 13,5 \dots 50$  °С коэффициент трения принимает минимальное значение, равное 0,18.

#### Библиографические ссылки

1. Правила устройства и безопасной эксплуатации грузоподъемных кранов. – СПб. : ДЕ-АН, 2005. – 272 с.
2. Пат. 2374627 Российская Федерация МПК G 01N 19/02 (2006.01). Устройство для крепления канатов при их испытании / Тарасов В. В., Чуркин А. В., Новиков В. Н., Постников В. А., Калентьев Е. А. – Бюл. № 33 от 27.11.09.

\*\*\*

*V. V. Tarasov*, Doctor of Technical Sciences, Professor, Institute of Applied Mechanics UB RAS, Izhevsk

*V. N. Novikov*, Izhevsk State Agricultural Academy

*E. A. Kalentyev*, Postgraduate Student, Institute of Applied Mechanics UB RAS, Izhevsk

*A. V. Churkin*, Candidate of Technical Sciences, Institute of Applied Mechanics UB RAS, Izhevsk

*V. A. Postnikov*, JSC “Giprogazsentr”, Izhevsk

*Yu. V. Puzanov*, Candidate of Technical Sciences, Associate Professor, Izhevsk State Technical University

#### On Selection Technique of Lubricant for a Steel Wire Rope at Friction

*A checking technique of a lubricant used for oiling steel wire ropes is presented. Main factors, influencing upon friction coefficient of steel ropes are revealed, and a mathematical model for determination of the rope friction coefficient is built.*

**Keywords:** Experiment planning, schungite, lubricant, steel wire rope, friction coefficient

Получено: 16.11.11